

بررسی اثر عوامل شیمیایی و مکانیکی بر پوشش روی (Zn) آبکاری شده بر زیرلایه فولادی st12*

سمیرا علائی^(۱) بهروز شایق بروجنی^(۲) احسان اکبری خراجی^(۳)

چکیده

هدف این پژوهش بررسی رفتار خوردگی پوشش نانوکریستالی روی (Zn) ایجاد شده بر زیرلایه فولادی st12 به روش عملیات مکانیکی سطحی تدریجی (SMAT) و آبکاری الکتریکی از طریق حمام کلریدی در حضور و عدم حضور ژلاتین بوده است. برای مشخصه‌یابی ساختار و رفتار پوشش‌ها از آزمون‌های تفرق اشعه ایکس، میکروسکوپ الکترونی روبشی گسیل میدانی، طیف‌سنجی توزیع انرژی اشعه ایکس (EDS)، آزمون‌های پلاریزاسیون نافل و طیف‌سنجی امپدانس الکتروشیمیایی در محلول ۳/۵ درصد سدیم کلرید و آزمون میکروسختی استفاده شد. نتایج نشان داد عملیات SMAT باعث کاهش اندازه بلورک‌ها شده و از طرفی حضور ژلاتین سبب ایجاد جهت‌گیری ترجیحی در رسوب Zn شده است، به طوری که اندازه دانه برای نمونه ساده نسبت به نمونه در حضور ژلاتین و عملیات SMAT، از ۵۵ به ۲۹ نانومتر و جریان خوردگی آن به ترتیب از ۸۰/۸ به ۲۰/۱ میکروآمپر بر سانتی‌متر مربع رسیده است.

واژه‌های کلیدی: آبکاری الکتریکی روی، عملیات مکانیکی تدریجی سطحی (SMAT)، مقاومت خوردگی.

Investigation of the Effect of Chemical and Mechanical Parameters on the Electroplated Zinc Coating on Steel Substrate of st12

S. Alaei

B. Shayegh Boroujeny

E. Akbari Kharaji

Abstract

This study aimed to investigate the corrosion behavior of zinc nano-crystalline coating on st12 steel substrate by surface mechanical attrition treatment (SMAT) and electroplating process into chloride bath with and without of gelatin. To study the behavior of coatings, they were characterized by using X-ray diffraction, field emission scanning electron microscopy, EDS, potentiodynamic polarization and EIS tests in 3.5 wt. % NaCl solution. The results showed that SMAT process reduced the size of the crystallites and the presence of gelatin caused the induced orientation of Zn deposition so that the grain size in the presence of gelatin and SMAT reached from 55 to 29 nm and the rate of its corrosion reached from 80.8 to 20.1 $\mu\text{A}\cdot\text{cm}^{-2}$.

Key Words Zinc electroplating, Surface mechanical attrition treatment (SMAT), Corrosion resistance.

* تاریخ دریافت مقاله ۹۹/۲/۲۶ و تاریخ پذیرش آن ۹۹/۶/۲۰ می‌باشد.

(۱) کارشناسی ارشد شناسایی، گروه مهندسی مواد، دانشکده فنی و مهندسی، دانشگاه شهرکرد.

(۲) نویسنده مسئول، استادیار، گروه مهندسی مواد، دانشکده فنی و مهندسی، دانشگاه شهرکرد.

(۳) کارشناسی ارشد خوردگی و حفاظت از مواد، دانشکده مهندسی مواد، دانشگاه شهرکرد.

Email: B.Shayegh@eng.sku.ac.ir

DOI: 10.22067/ma.v32i1.86901

مقدمه

فولادهای پوشش داده شده با روی (Zn) و آلیاژهای آن، به طور وسیعی در صنایع ساختمان، خودروسازی، تأسیسات عمومی و ابزارهای صنعتی استفاده می شود. تقریباً نیمی از تولیدات روی در جهان صرف پوشش دهی ورق های فولادی می شود. نرخ خوردگی روی در بیشتر اتمسفرها دست کم ۱۰ برابر از فولاد کمتر است. پوشش های روی باعث بهبود رنگ پذیری سطح و افزایش مقاومت به خوردگی می شود. بدین ترتیب استفاده از این پوشش ها برای جلوگیری از خوردگی فولاد از بیشترین کاربرد برخوردار است.

به حفاظت از فولاد با پوشش روی، به علت ارزان قیمت بودن روی و پوشش دهی آسان و همچنین بهبود مؤثر حفاظت گالوانیک در برابر خوردگی بسیار توجه می شود، به طوری که عموماً از پوشش روی برای حفاظت مؤثر فولاد در محیط های خورنده استفاده می شود. پوشش روی علاوه بر نرخ خوردگی کمتر و با توجه به فعال تر بودن آن نسبت به فولاد، می تواند به صورت گالوانیکی مانع از خوردگی فولاد شود. خوردگی پوشش های روی وابستگی زیادی به بافت و مورفولوژی پوشش دارد، از این رو می توان با تغییر روش پوشش دهی و به دست آوردن بافت و مورفولوژی مناسب، نرخ خوردگی ورق های گالوانیزه را کاهش داد [۱].

رسوب الکتروشیمیایی روشی نسبتاً ساده و کم هزینه است که به طور گسترده ای برای اعمال پوشش های فلزی استفاده می شود. در این روش محدودیتی در شکل هندسی زیرلایه وجود ندارد و جوانه زنی رسوب روی نمونه ها با سرعت زیادی انجام می شود و می توان به آسانی به فیلم هایی با ضخامت چند میکرومتر دست یافت. علاوه بر موارد ذکر شده، در این روش می توان به آسانی با تغییر در پتانسیل کاری یا دانسیته جریان اعمالی در حین رشد فیلم، ترکیب آلیاژی دقیقی را متناسب با خواص مکانیکی، مغناطیسی و خوردگی مدنظر ایجاد کرد [2,3].

از آنجایی که بهبود ریزساختار و خواص سطحی یک راه مؤثر برای افزایش عمر قطعات در حین سرویس دهی

است، اصلاح ریزساختار سطح به وسیله ایجاد یک لایه سطحی نانوساختار سودمند است [4,5]. برای ایجاد سطوح نانوکریستالی می توان از عوامل ریزکننده دانه نیز استفاده کرد. امروزه از روش های جدیدی مانند عملیات مکانیکی سطحی تدریجی (SMAT) برای ایجاد یک لایه سطحی نانو کریستالی در سطح مواد فلزی استفاده می شود. عملیات مکانیکی سطحی تدریجی یک روش نوین و مؤثر برای به وجود آوردن این لایه نانوکریستالی بر روی سطح است [6]. نکته اصلی در این فرایند، ایجاد یک لایه سطحی نانوکریستالی در سطح ماده از طریق ایجاد تعداد زیادی از عیوب یا فصل مشترک هاست که در این صورت ریزساختار به بلورهایی با اندازه نانومتر تبدیل می شود.

اکنون در حمام های آبکاری روی از افزودنی های شیمیایی برای اصلاح ساختار سطح پوشش های روی استفاده می شود و در نتیجه مطالعات عمدتاً روی بررسی اثر این مواد بر ساختار سطح پوشش متمرکز بوده و تأثیر ساختار سطح زیرلایه بر ساختار و خواص پوشش های روی کمتر مطالعه شده است. از آنجایی که عملیات مکانیکی سطحی تدریجی (SMAT) به عنوان روشی نوین و ارزان قیمت قادر به اصلاح سطح زیرلایه بوده و در نتیجه ممکن است بر ساختار و ویژگی های پوشش آبکاری شده روی بسیار مؤثر باشد، در این پژوهش کوشش شده است با استفاده از روش های ارزان قیمت مانند عملیات مکانیکی سطحی تدریجی و آبکاری الکتریکی، لایه نانوکریستالی سطحی برای بهبود مقاومت به خوردگی بر سطح زیرلایه فولادی ایجاد شود. به این منظور، ابتدا سطح نمونه ها تحت عملیات SMAT قرار گرفته است، سپس با استفاده از حمام کلریدی در حضور و عدم حضور ژلاتین یک لایه نانوکریستالی روی (Zn) بر زیرلایه فولادی رسوب داده شد. سپس رفتار خوردگی نمونه های عملیات سطحی شده پوشش دار و بدون پوشش و همچنین رفتار نمونه های عملیات سطحی شده و پوشش داده شده در حضور و عدم حضور ژلاتین در محلول ۳/۵ درصد سدیم کلرید (NaCl) با یکدیگر مقایسه شد. برای مشخصه یابی پوشش های نانوکریستالی Zn ایجاد شده از

برای نام‌گذاری بهتر نمونه‌ها، هرکدام به صورت اختصاری نام‌گذاری شده است، به طوری که به ترتیب پوشش‌های بدون ژلاتین بر زیرلایه ساده، حاوی ژلاتین - زیرلایه ساده، بدون ژلاتین - زیرلایه SMAT شده و نمونه حاوی ژلاتین - زیرلایه SMAT شده به صورت نمونه‌های S، GS، S-SMAT و G-SMAT نام‌گذاری شدند.

در همه اندازه‌گیری‌های الکتروشیمیایی، از یک سل سه‌الکترودی استفاده شد، به طوری که از نمونه‌های فولادی به عنوان الکتروود کار با ابعاد سطح 10×10 میلی‌متر، از الکتروود به عنوان الکتروود مرجع و از پلاتین با ابعاد 20×20 میلی‌متر به عنوان الکتروود کمکی استفاده شد. فاصله بین الکتروودها در تمام آزمون‌ها ثابت و برابر اسانتی متر بود. برای بررسی پتانسیل نشست از آزمون ولتاژمتری با سرعت اسکن 10 میلی‌ولت بر ثانیه در محدوده $1/5 - 0/5$ ولت استفاده شد.

برای بررسی مورفولوژی سطح و مقطع پوشش‌ها از میکروسکوپ الکترونی روبشی (FESEM, MIRA3, TESCAN - XMU) استفاده شد. ترکیب شیمیایی پوشش‌ها، از طریق آزمون طیف‌سنجی تفکیک انرژی (EDS) تعیین شد. ارزیابی سختی پوشش‌ها با آزمون میکروسختی با دستگاه Microhardness-tester HVS-1000 انجام شد، به طوری که از هر نمونه ۳ آزمون گرفته شد و در هر مرحله از نیروی 50 گرمی و مدت 10 ثانیه استفاده شد. ساختار کریستالی و اندازه بلورک نمونه‌ها با استفاده از دستگاه پراش‌سنگ اشعه ایکس X'pert Pro MPD شرکت Panalytical با هدف مسی ($CuK_{\alpha} = 0.154 \text{ nm}$) در محدوده (2θ) 5 تا 80 درجه با اندازه گام (step size) $0/26$ درجه بررسی شد. برای تحلیل اطلاعات آزمون اشعه ایکس از نرم‌افزار Xpert Highscore استفاده شد. محاسبه اندازه بلورک‌ها با استفاده از روش ویلیامسون-هال انجام شد.

رفتار خوردگی نمونه‌ها با آزمون‌های پلاریزاسیون تافل و امپدانس الکتروشیمیایی (EIS) در محلول $3/5$ درصد سدیم کلرید و به وسیله دستگاه پتانسیواستات Parstat مدل 2273 بررسی شد. نرخ روبش 1 mV/s و دمای آزمایش،

آزمون‌های تفرق اشعه ایکس (XRD)، میکروسکوپ الکترونی روبشی گسیل میدانی (FESEM) و آزمون طیف‌سنجی توزیع انرژی اشعه ایکس (EDS) استفاده شد. همچنین مقاومت به خوردگی پوشش‌های نانوکریستال Zn با استفاده از آزمون‌های پلاریزاسیون تافل و طیف‌سنجی امپدانس الکتروشیمیایی (EIS) در محلول $3/5$ درصد سدیم کلرید بررسی شد.

مواد و روش تحقیق

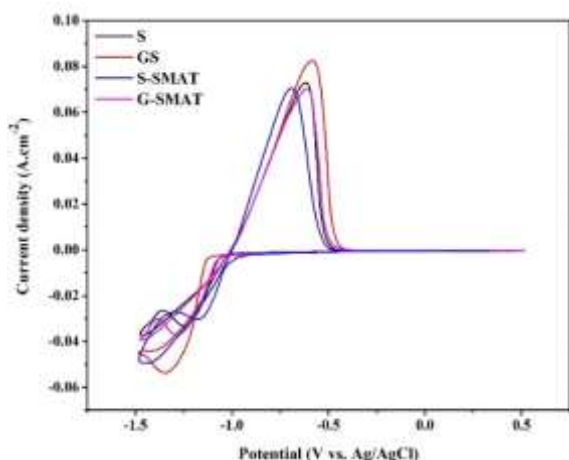
برای آماده سازی نمونه‌ها، از ورق فولادی st12 با ضخامت 2 میلی‌متر به ابعاد 10×10 میلی‌متر به عنوان زیرلایه برای رسوب پوشش روی استفاده شد.

با هدف دستیابی به یک ساختار درشت و همگن، زیرلایه‌ها در دمای 600°C به مدت 2 ساعت تحت عملیات حرارتی آنیل قرار گرفتند و پس از سرد شدن به مدت 30 دقیقه تحت عملیات SMAT قرار گرفتند. فرکانس لرزش دستگاه 50 هرتز، فاصله نمونه‌ها از کف محفظه اسانتی متر بود و از گلوله‌های فولادی با قطر 3 میلی‌متر استفاده شد. برای انجام فرایند آبکاری، نمونه‌ها مانده تا لبه‌های تیز و سطح پشت نمونه پوشیده شود و توزیع جریان الکتریکی در همه قسمت‌ها یکسان باشد. سطح الکتروود کار (زیرلایه) برای افزایش بازدهی پوشش‌دهی، افزایش چسبندگی پوشش به زیرلایه و بهبود خواص نهایی پوشش، با سمباده از شماره مش‌های 200 تا 800 آماده‌سازی شد. 2 حمام استفاده شده از نوع کلریدی بوده که ترکیب شیمیایی هرکدام در جدول ۱ آمده است. در حمام‌های یادشده، ژلاتین به عنوان افزودنی مؤثر در کاهش اندازه دانه‌های پوشش استفاده شد. زمان پوشش‌دهی 5 دقیقه در نظر گرفته شد و اسیدیتته محلول به کمک pH متر دیجیتالی، مقدار 5 تعیین شد.

جدول ۱ ترکیب شیمیایی الکتروولیت آبکاری (گرم بر لیتر)

محلول	ZnCl ₂	NH ₄ Cl	H ₃ BO ₃	Gelatin
۱	۶۰	۱۷۰	۲۰	-
۲	۶۰	۱۷۰	۲۰	۰/۵

افزودنی که این مکان‌ها را پوشانیده است، انجام شود. به همین دلیل در حضور افزودنی به پتانسیل‌های بیشتری برای احیای فلز Zn بر روی سطح نیاز است.



شکل ۱ ولتاگرام سیکلی از محلول آبکاری بر زیرلایه فولادی در حالت‌های مختلف در محدوده پتانسیل ۰/۵ تا -۱/۵ ولت نسبت به الکترود مرجع Ag/AgCl

برای نمونه S-SMAT، پتانسیل احیای Zn به مقادیر مثبت‌تر (-۱/۰۸) انتقال پیدا کرد. این بدان معنی است که به پتانسیل کمتری برای احیای فلز Zn بر روی سطح الکترود نیاز است. مطابق تحقیقات، با انجام فرایند SMAT زبری سطح افزایش می‌یابد و ناهمواری ایجاد می‌شود. به عبارتی دانسیته مناطق مستعد برای احیا از جمله عیوب یا لبه‌ها زیاد می‌شوند و به این ترتیب احیای فلز Zn راحت‌تر صورت می‌پذیرد. از طرفی با توجه به شکل ۱، دانسیته جریان کاتدی فلز Zn کاهش می‌یابد که علت این امر می‌تواند تغییر سطح باشد. با وجود یکسان بودن سطح ظاهری، سطح اصلی با وجود پستی و بلندی‌های زیاد می‌تواند بیشتر از سطح ظاهری باشد. با توجه به افزایش سطح، دانسیته جریان کاهش یافته است، اما کاهش دانسیته جریان را نمی‌توان دلیلی بر تمایل کمتر برای احیای یون Zn بر سطح الکترود دانست. برای نمونه G-SMAT پتانسیل احیای Zn نزدیک به پتانسیل احیای حالت اول (نمونه S) بوده است. از این رو، می‌توان گفت که

دمای اتاق در نظر گرفته شد. زمان غوطه‌وری هر نمونه در پتانسیل مدار باز برای رسیدن به حالت تعادل، ۳۰ دقیقه انتخاب شد. برای تحلیل نمودارها و برون‌یابی تافلی منحنی‌های پلاریزاسیون از نرم‌افزار CorrView استفاده شد. برای بررسی‌های دقیق‌تر رفتار پوشش‌ها، روش طیف‌سنجی امپدانس الکتروشیمیایی (EIS) به کار گرفته شد. آزمون EIS در مقدار پتانسیل مدار باز (OCP) و با به کارگیری دامنه ۱۰ mV نسبت به OCP در محدوده فرکانسی ۱۰۰ میلی تا ۱۰۰ کیلو هرتز انجام شد. برای انجام این آزمون ابتدا هر نمونه در پتانسیل مدار باز به مدت ۳۰ دقیقه در محلول نگهداری شد. انتخاب مدل تئوری مناسب برای تحلیل منحنی‌های آزمون EIS با نرم‌افزار Zview انجام شد. راندمان حفاظت نمونه‌های پوشش داده‌شده به کمک رابطه (۱) محاسبه شده است که در آن R_t و R_{t0} به ترتیب مقاومت پلاریزاسیون نمونه در حالت پوشش‌های مختلف و پوشش ساده است.

$$IE = \left(-1 \frac{R_t}{R_{t0}}\right) 100\% \quad (1)$$

نتایج و بحث

آزمون ولتامتری سیکلی

شکل ۱ نمودارهای آزمون ولتامتری در محدوده -۱/۵ تا ۰/۵ ولت نسبت به الکترود مرجع Ag/AgCl درون محلول‌های آبکاری Zn بر سطح زیرلایه ساده و SMA شده با و بدون ژلاتین را نشان می‌دهد. با توجه به نتایج، هنگام آبکاری نمونه S، جریان کاتدی Zn از پتانسیل تقریبی -۱/۱- ولت شروع شده است. با اضافه شدن ژلاتین به محلول (نمونه GS)، پتانسیل احیای Zn به سمت مقادیر منفی‌تر (-۱/۱۷) انتقال پیدا کرد. بر اساس مطالعات انجام شده [۸] زمانی که افزودنی به محلول اضافه می‌شود، قبل از این که پتانسیل به پتانسیل احیای فلز Zn بر سطح نزدیک شود، سطح الکترود از افزودنی پوشیده می‌شود و سطح مکان‌های فعال برای جوانه‌زنی را اشغال می‌کند. در این شرایط، انتقال بار بین یون‌های Zn درون الکترولیت و سطح الکترود باید از بین لایه

باتوجه به نتایج، پوشش آبکاری شده S دارای بزرگترین اندازه کریستالیت (۵۵ نانومتر) و پوشش آبکاری شده G-SMAT دارای کمترین اندازه کریستالیت (۲۹ نانومتر) بوده است.

باتوجه به طیف ۲-ب بر اثر اضافه شدن ژلاتین به محلول، رشد ترجیحی ایجاد می‌شود و می‌توان گفت ژلاتین نقش ریزدانه‌کننده را دارد. به صورتی که در حضور ژلاتین، رشد در صفحه‌های (۰۰۲)، (۱۰۱)، (۱۰۲) (۱۰۳) کاهش یافته، در حالی که رشد در صفحه‌های (۱۰۰) و (۱۰۱) به طرز چشمگیری افزایش یافته است. همچنین می‌توان مشاهده کرد که پهنای پیک‌ها نسبت به طیف ۲-الف افزایش یافته که نشان‌دهنده کاهش اندازه بلورک‌هاست. در طیف ۲-ج مشاهده می‌شود که بر اثر انجام عملیات SMAT، شدت پیک‌ها کاهش یافته است و پیک‌ها پهن‌تر شده‌اند که این موضوع به دلیل کاهش اندازه بلورک در اثر انجام عملیات SMAT است. مقایسه طیف‌های ۲-الف و ۲-ج نشان می‌دهد عملیات SMAT بر سطح زیرلایه تأثیر زیادی بر جهت رشد نداشته و فقط باعث کاهش اندازه کریستالیت‌ها شده است. در طیف ۲-د مشاهده می‌شود که شدت همه پیک‌ها کاهش یافته و پیک‌ها پهن‌تر شده است که نشان‌دهنده کاهش اندازه کریستالیت‌هاست. همچنین هم‌زمان با کاهش رشد در صفحات کریستالی (۰۰۲)، (۱۰۲) (۱۰۳) رشد در صفحه (۱۰۰) افزایش یافته است.

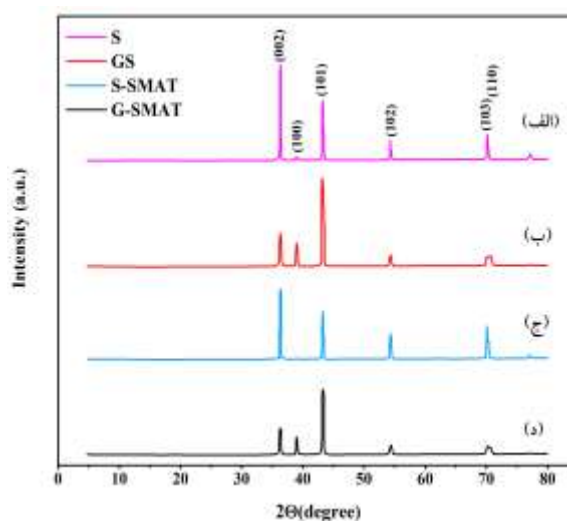
بررسی مورفولوژی سطح

شکل ۳ تصاویر FESEM مورفولوژی پوشش‌های روی در حضور و عدم حضور ژلاتین روی زیرلایه ساده و SMAT شده را نشان می‌دهد. باتوجه به شکل ۳، لایه‌های متراکمی از Zn در همه نمونه‌ها ایجاد شده است. تصویر ۳-الف مورفولوژی پوشش نمونه S را نشان می‌دهد. این ساختار متشکل از بلورهای هگزاگونال است که در راستای محور C بر روی یکدیگر چیده شده‌اند و یک دانه را ایجاد می‌کنند. در تصویر ۳-ب، یعنی برای نمونه GS، اندازه دانه‌ها کاهش یافته است. علت این امر این است که در هنگام اعمال

به دلیل تأثیر عملکرد هم‌زمان و معکوس ژلاتین و عملیات SMAT، مقدار پتانسیل تغییر چندانی نداشته است.

بررسی ساختار فازی

شکل ۲ الگوی XRD پوشش‌های Zn در حضور و عدم حضور ژلاتین بر روی زیرلایه ساده و SMAT شده را نشان می‌دهد. پیک‌های تفرق در زوایای پراکندگی (۲θ) (۳۶/۲۹)، (۳۸/۹۹)، (۴۳/۲۳)، (۵۴/۳۳)، (۷۰/۰۳۰)، (۷۰/۶۶۳)، (۷۷/۰۳۰) به ترتیب مربوط به صفحات (۰۰۲)، (۱۰۰)، (۱۰۱)، (۱۰۲)، (۱۰۳) و (۱۱۰) هستند. جدول ۲ مقادیر محاسبه شده اندازه بلورک پوشش‌ها را با استفاده از روش ویلیامسون-هال نشان می‌دهد.



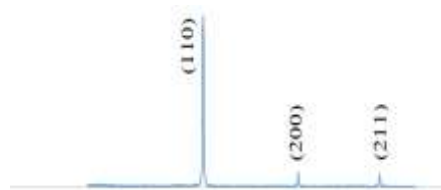
شکل ۲ الگوهای پراش اشعه ایکس پوشش Zn آبکاری شده از محلول: (الف) S، (ب) GS، (ج) S-SMAT و (د) G-SMAT

جدول ۲ اندازه کریستالیت و میزان میکروکرنش برای پوشش‌های Zn آبکاری شده

نمونه	اندازه کریستالیت (nm)	میکروکرنش
S	۵۵	1×10^4
GS	۴۳	3×10^5
S-SMAT	۴۰	$1,5 \times 10^4$
G-SMAT	۲۹	5×10^5

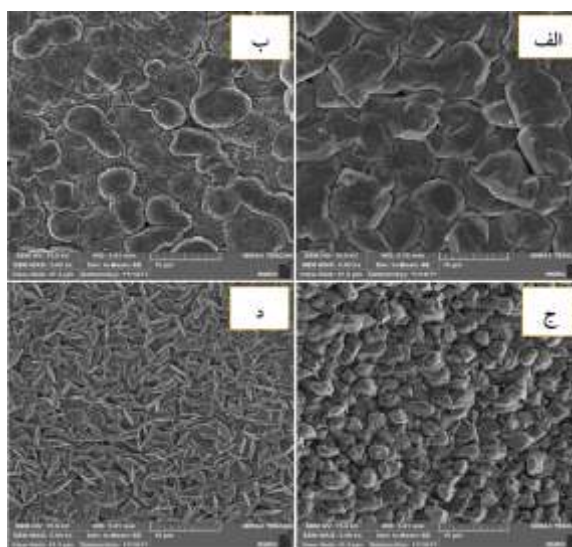
کوکتر شده است. در واقع از آنجایی که در عملیات SMAT اندازه دانه های زیرلایه کاهش و ناهمواری های سطح افزایش یافته اند، دانسیته مناطق مستعد برای احیا افزایش می یابد و باعث تشکیل جوانه های Zn بیشتری نسبت به حالتی که زیرلایه ساده است، می شود. این مورفولوژی نیز شبیه مورفولوژی پوشش در حالت الف بوده، با این تفاوت که اندازه دانه ها به طرز چشمگیری کاهش یافته است. همچنین اندازه لایه ها بسیار کمتر شده است، اما حالت منظم و یکنواخت خود را در جهت موازی یکدیگر حفظ کردند. طبق نتایج آزمون اشعه ایکس در این پوشش، رشد در صفحات (۰۰۲) ارجحیت داشته است. مطالعات نشان داده است که بین جهت گیری کریستالی بلورهای Zn و زیرلایه فولادی ارتباط وجود دارد. مطالعات پیشین نیز نشان داده است که بسته به نوع صفحه بلوری زیرلایه، روی نحوه قرار گرفتن بلورهای هگزاگونال Zn به شدت تأثیرگذار است [13].

باتوجه به نتایج الگوی XRD زیرلایه فولادی نمایش داده شده در شکل ۴، جهت گیری غالباً در صفحه (۱۱۰) بوده است و بر روی صفحات (۱۱۰) زیرلایه فولادی، بلورهایی که صفحات آنها به موازات سطح زیرلایه هستند تشکیل خواهد شد. می توان گفت باتوجه به کاهش پلاریزاسیون کاتدی در اثر انجام عملیات SMAT روی زیرلایه، رشد جانبی ترجیح داده می شود که علت آن کوچک تر بودن انرژی لازم برای رشد در صفحات پر دانسیته (۰۰۲) به موازات سطح فولاد به علت قوی تر بودن انرژی پیوند بین اتم های صفحات پر دانسیته با زمینه فولاد است [12].



شکل ۴ الگوی XRD زیرلایه فولادی

پوشش، ژلاتین خود را به سطح کاتد می رساند و مکان های فعال روی سطح را می پوشاند و رشد را در یک جهت متوقف می کند. از طرفی به دلیل حضور ژلاتین روی سطح کاتد، نفوذ کاتیون های Zn نیز دشوارتر می شود و در نتیجه کاتیون های فلزی کمتری توانایی رسیدن به مکان های رشد را دارند و در این صورت تشکیل جوانه های جدید به جای رشد جوانه های قبلی ترجیح داده می شود. از طرفی اندازه صفحات بلوری کاهش یافته و بر تعدادشان اضافه شده است و در هر دانه، جهات مختلفی از چیده شدن بلورکها را می توان مشاهده کرد. علت به هم ریختگی و رشد تصادفی را نیز می توان به مکانیزم اثر ژلاتین در آبکاری، یعنی جذب بر سطوح پرنرژی و رسوب روی مکان های رشد و به موجب آن اثر منفی یا بازدارنده بر مکان های فعال رشد دانست [10]. طبق نتایج آزمون XRD در این پوشش، رشد در صفحات (۱۰۰) و (۱۰۱) ارجحیت داشته است که می توان گفت باتوجه به افزایش پلاریزاسیون کاتدی در حضور ژلاتین، رشد به بیرون صورت گرفته و رشد در صفحات زاویه دار و منشوری افزایش یافته است [11,12].



شکل ۳ تصاویر FESEM از مورفولوژی پوشش Zn آبکاری شده از محلول: (الف) S، (ب) GS، (ج) S-SMAT و (د) G-SMAT

در تصویر ۳-ج برای نمونه S-SMAT، اندازه دانه ها

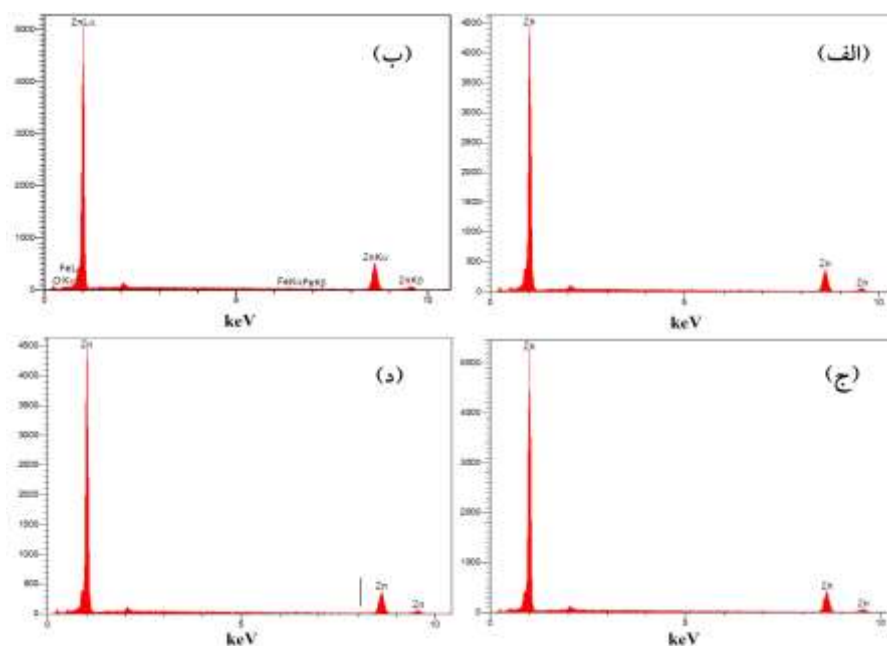
کمتر پوشش نسبت داد.

شکل ۶ تصاویر FESEM پوشش‌های Zn آبکاری شده در حالت‌های مختلف را نشان می‌دهد. با توجه به تصویر ناحیه‌ای از عدم چسبندگی در نمونه الف، مشاهده می‌شود که همان‌طور که در نتایج مربوط به EDS مشاهده شد، امکان جدا شدن این پوشش از روی سطح وجود دارد و بدین ترتیب آهن دیده شده در نتایج EDS قابل توجه است. همان‌طور که مشخص است، ضخامت پوشش Zn در محلول‌های حاوی ژلاتین افزایش یافته است که علت آن را می‌توان بالا بودن پتانسیل اضافی Zn یا به عبارتی بالا بودن سرعت نشست یون‌ها در محلول حاوی ژلاتین دانست. به طوری که در شکل نیز مشاهده می‌شود، ضخامت پوشش برای پوشش‌های S، GS، S-SMAT و G-SMAT به ترتیب ۲۳/۴۱، ۳۰/۳۱، ۲۲/۸۵ و ۲۹/۱۷ میکرون اندازه‌گیری شدند. با توجه به تصاویر ۶-ج و ۶-د می‌توان مشاهده کرد که فاصله بین پوشش و زیرلایه کمتر می‌شود، به طوری که مرزی بین زیرلایه و پوشش مشاهده نمی‌شود. به نظر می‌رسد انجام عملیات SMAT بر سطح زیرلایه سبب اتصال بهتر پوشش به زیرلایه شده باشد.

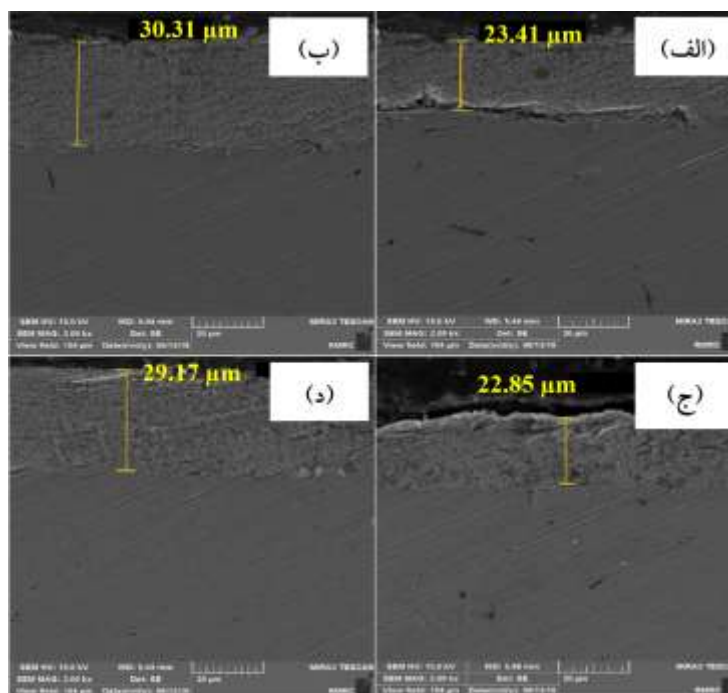
تصویر ۳-د مورفولوژی پوشش G-SMAT را نشان می‌دهد. این پوشش بیشتر دارای بلورک‌های نازک Zn است که هر دانه دارای جهت‌گیری خاصی است که همچنین می‌تواند متفاوت با دیگر دانه‌ها باشد. با توجه به وجود مناطق مستعد جوانه‌زنی روی زیرلایه SMAT شده، تعداد زیادی جوانه تشکیل خواهد شد. در ادامه ژلاتین با جذب بر سطوح پراثری و رسوب روی مکان‌های رشد مانع رشد می‌شود و مجدداً جوانه‌های جدید تشکیل می‌شود. به این ترتیب ساختار کاملاً بهم ریخته است و رسوبات ریزدانه شده‌اند.

ترکیب شیمیایی پوشش‌ها

ترکیب شیمیایی پوشش‌های آبکاری شده از طریق آزمون طیف‌سنجی توزیع انرژی اشعه ایکس (EDS) بررسی شد و نتایج آن در شکل ۵ نشان داده شده است. با توجه به شکل، در همه پوشش‌ها به جز پوشش نمونه S، فقط عنصر روی شناسایی شده است. در پوشش یادشده، علاوه بر روی، آهن و اکسیژن نیز شناسایی شده‌اند که علت آن را می‌توان بالا بودن پتانسیل اضافی هیدروژن به عنوان مانعی برای احیای Zn بر سطح کاتد [9] و همچنین ضخامت

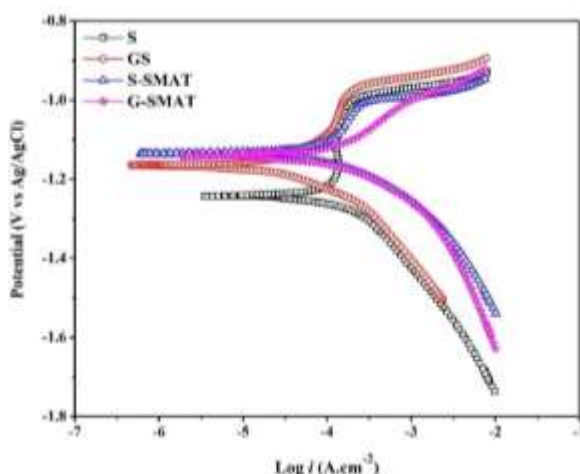


شکل ۵ نتایج آزمون EDS پوشش Zn آبکاری شده از محلول: (الف) S، (ب) GS، (ج) S-SMAT و (د) G-SMAT



شکل ۶ تصاویر FESEM از ضخامت پوشش Zn آبکاری شده از محلول: (الف) S، (ب) GS، (ج) S-SMAT و (د) G-SMAT

تغییر کرده و از مکان‌های کاتدی به شدت کاسته شده است. در این صورت فرایند خوردگی دچار کنترل کاتدی می‌شود، به این معنی که چون مکان‌های انجام واکنش کاتدی کاهش یافته است، به دنبال آن از سرعت واکنش‌های آندی نیز کم و در نهایت منجر به کاهش سرعت خوردگی می‌شود [14].

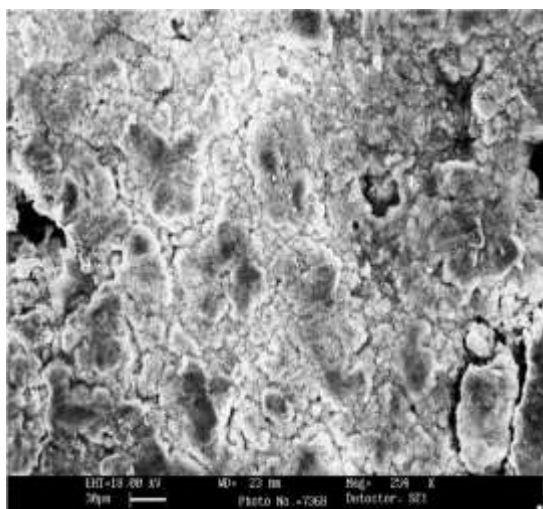


شکل ۷ منحنی پلاریزاسیون نمونه‌های پوشش Zn آبکاری شده در حالت‌های مختلف در محلول ۳/۵ درصد سدیم کلرید نسبت به الکترود مرجع Ag/AgCl

ارزیابی رفتار خوردگی

شکل ۷ نمودار پلاریزاسیون نمونه‌های پوشش Zn آبکاری شده را نشان می‌دهد. نتایج این آزمون در جدول ۳ آمده است. مقاومت پلاریزاسیون در همه حالت‌ها نسبت به پوشش نمونه S افزایش یافته است. با توجه به نتایج پلاریزاسیون و تصاویر FESEM پوشش‌ها می‌توان مشاهده کرد که با ریزتر شدن دانه‌های پوشش، دانسیته جریان خوردگی کمتر شده است. به عبارت دیگر، دانسیته جریان خوردگی به ترتیب از پوشش نمونه S، نمونه GS، نمونه S-SMAT تا پوشش نمونه G-SMAT کاهش یافته است.

مرزدانه‌ها به عنوان مکان‌های آندی مرجح شناخته می‌شوند و بنابراین نقش آند، و دانه نقش کاتد را ایفا می‌کند. در این حالت نسبت مساحت آند به کاتد بر میزان شدت خوردگی بسیار مؤثر است. سطح کاتد بزرگ واکنش احیا را تسهیل می‌کند و بنابراین انحلال آندی مطابق اصل خنثایی الکتریکی باید کاهش یابد. به عبارت دیگر زمانی که سطح دانه بزرگ‌تر از مرزدانه باشد، سرعت خوردگی در مرزدانه‌ها افزایش خواهد یافت. با ریز شدن دانه‌ها در ابعاد نانو می‌توان این‌گونه تصور کرد که نسبت آند به کاتد به نفع مرز دانه‌ها



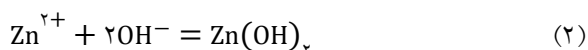
شکل ۸ تصویر SEM سطح پوشش G-SMAT پس از انجام آزمون پلاریزاسیون تافل

از طرفی پوشش‌ها پتانسیل پسیو متفاوتی از خود نشان دادند. در پوشش نمونه S، پتانسیل پسیو کمتر از سایر پوشش‌هاست. از آنجایی که حلالیت نمک محدود است، تراکم بیش از حد یون‌های فلزی در نزدیکی سطح الکتروود باعث خواهد شد نمک روی سطح الکتروود رسوب کند و بخش چشمگیری از سطح را بپوشاند، ولی جریان در قسمت‌های پوشیده نشده به شدت افزایش می‌یابد. به محض هیدرولیز شدن سدیم کلرید و آب، یون‌هایی که ایجاد می‌شوند توانایی تشکیل فیلم پسیو را بر روی (Zn) دارند و به دنبال آن مهاجرت یا نفوذ کاتیون‌ها از شبکه فلز به درون الکتروودیت از میان چنین لایه پسیوی مشکل‌تر خواهد بود. همچنین اگرچه واکنش اکسیداسیون الکتروود به وسیله یون‌های هیدروکسیل، کلر یا اکسیژن به طور هم‌زمان شدت می‌یابد، ضخامت فیلم پسیو افزایش پیدا می‌کند. این موضوع باعث می‌شود حرکت کاتیون‌های فلزی از شبکه به الکتروودیت باز هم سخت‌تر شود، پس در نتیجه تغییرات جریان آندی کاهش پیدا می‌کند و با افزایش پتانسیل، جریان ثابت می‌ماند.

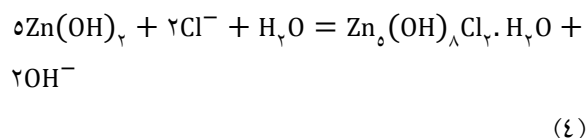
جدول ۳ پارامترهای الکتروشیمیایی به دست آمده از برون‌یابی تافل منحنی پلاریزاسیون نمونه‌های پوشش Zn آبکاری شده در حالت‌های مختلف در محلول ۳/۵ درصد سدیم کلرید

نمونه	E_{corr} (V)	I_{corr} ($\mu A.cm^{-2}$)	R_p ($ohm.cm^{-2}$)
S	-۱/۲	۸۰/۸	۱۹۷/۸
GS	-۱/۱	۷۴/۵	۲۳۲/۸
S-SMAT	-۱/۱	۶۰/۶	۲۳۳/۲
G-SMAT	-۱/۱	۲۰/۱	۸۲۸/۱

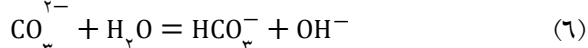
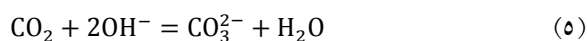
طبق تحقیقات، محصولات خوردگی Zn در محلول سدیم کلرید شامل ZnO، Zn(OH)₂، ZnCl₂ و Zn₅(OH)₈Cl₂.2H₂O و Zn₅(OH)₆CO₃.H₂O است. طبق بررسی‌ها درصد هیدروکسید روی Zn(OH)₂ تشکیل شده در لایه پسیو کم است و می‌توان گفت هیدروکسید روی در ابتدای تشکیل طبق واکنش‌های (۲) و (۳) زیر به سرعت به سایر محصولات تبدیل می‌شود.



به دلیل حضور یون‌های کلر درون محلول مطابق با واکنش (۴)، هیدروکسید کلرید روی تشکیل خواهد شد.



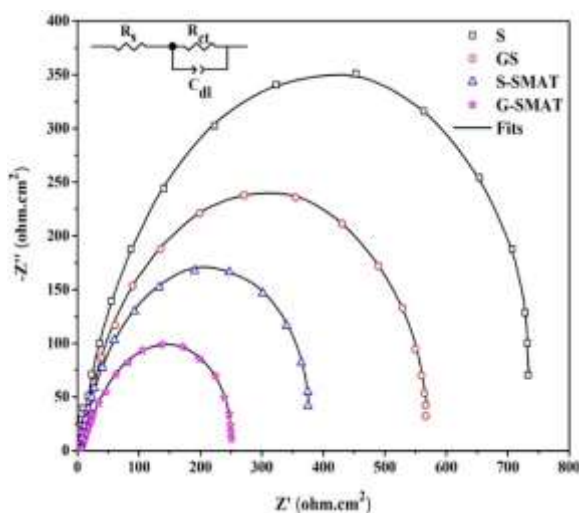
در صورت حضور دی‌اکسیدکربن در اتمسفر و جذب آن بر روی سطح الکتروودیت طبق واکنش (۵)، (۶) و (۷) هیدروکسید کربنات روی تشکیل می‌شود:



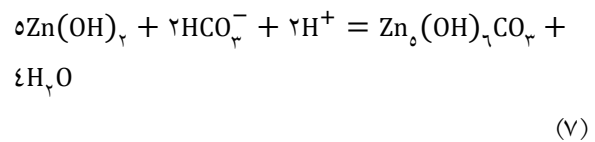
شکل ۸ تصویر SEM سطح پوشش G-SMAT را پس از انجام آزمون پلاریزاسیون تافل نشان می‌دهد. به دلیل مشابهت، از آوردن تصاویر سطح پوشش‌های دیگر خودداری شده است. آنالیز EDS سطح نمونه وجود عناصر Zn، O و Cl را تأیید کرد.

همان‌طور که دیده می‌شود، اختلاف این دو فقط در یک توان n است که این مقدار عددی بین صفر و یک است. مقدار صفر آن مقاومت ایدئال و مقدار یک آن خازن ایدئال را تداعی می‌کند، به طوری که هرچه این مقدار به مقدار ۱ نزدیک‌تر باشد، سطحی یکنواخت‌تر و ایدئال‌تر خواهیم داشت.

مقادیر به دست آمده از مدار معادل و انطباق آن‌ها با طیف‌های حاصل از آزمون، در جدول ۴ ثبت شد. با توجه به این که R_{ct} مقاومت انتقال بار بوده و سرعت واکنش‌های خوردگی را مشخص می‌کند، هرچه این کمیت بزرگ‌تر باشد، مقاومت به خوردگی بیشتر است. همان‌گونه که از جدول ۴ مشخص است، پوشش نمونه G-SMAT بیشترین مقاومت پلاریزاسیون و بازده حفاظتی را دارد. همچنین طبیعت له شده و شبه‌دایره نمودارها با مرکز زیر محور افقی، بیانگر افزایش ناهمواری‌های سطحی و غیریکنواختی الکتروود جامد در حین خوردگی و توزیع غیریکنواخت جریان روی سطح است. این مسئله را می‌توان با پارامتر n نیز بیان کرد. با مقایسه مقادیر n ملاحظه می‌شود که این پارامتر به ترتیب به ۱ نزدیک می‌شود که بیانگر یکنواختی بالای پوشش نسبت به دیگر پوشش‌هاست.



شکل ۹ منحنی نایکوئیست نمونه‌های پوشش Zn آبکاری شده در حالت‌های مختلف در محلول ۳/۵ درصد سدیم کلرید



در نهایت مطالعات نشان داده است که هیدروکسید کربنات روی $\text{Zn}_5(\text{OH})_8\text{CO}_3$ و هیدروکسید کلرید روی $\text{Zn}_5(\text{OH})_8\text{Cl}_2 \cdot 2\text{H}_2\text{O}$ محصولات اصلی خوردگی Zn، در محلول سدیم کلرید هستند [15,16]. با این حال، هیدروکسید کربنات روی، یک لایه متخلخل است و طی پلاریزاسیون آندی رفتار شبه‌پسیو دارد [17].

منحنی نایکوئیست در محلول ۳/۵ درصد سدیم کلرید برای پوشش‌های Zn آبکاری شده در حالت‌های مختلف در شکل ۹ نشان داده شده است. با توجه به منحنی نایکوئیست برای تفسیر الکتروشیمیایی این سیستم‌ها و محاسبه پارامترهای الکتروشیمیایی R_s ، R_{ct} و C_{dl} از مدار معادل شکل ۹-ب استفاده شده است. در این مدار، R_s مقاومت جبران‌نشده محلول بین الکتروود مرجع و الکتروود کاری (نمونه پوشش داده شده)، R_{ct} مقاومت پلاریزاسیون در فصل مشترک محلول و الکتروود که همان مقاومت انتقال بار است و $Q(C_{dl})$ ظرفیت فیلم پسیو است. در واقع به دلیل آن که صفحات لایه دوگانه ایجاد شده بین سطح الکتروود و الکتروولیت دقیقاً موازی باهم نیست و همچنین صفحه الکتروود زیر و ناهمگون است، از المان فاز ثابت به جای خازن ایدئال استفاده می‌شود [14]. تفاوت این عنصر در فرمول امپدانس خودش را نشان می‌دهد. امپدانس خازن با معادله (۸) برابر است:

$$Z = \frac{1}{j\omega C} \quad (8)$$

و این مقدار برای CPE با معادله (۹) برابر است:

$$Z = \frac{1}{(Y_0 j\omega)^n} \quad (9)$$

جایی که C به معنی ظرفیت خازنی، ω فرکانس زاویه‌ای ($\omega = 2\pi f$)، Y_0 ادمیتانس (برعکس امپدانس و معادل پارامتر ظرفیت در خازن ایدئال) و n عبارت موهومی -1 است.

جدول ۴ نتایج آزمون امپدانس نمونه‌های پوشش Zn آبکاری شده در حالت‌های مختلف در محلول ۳/۵ درصد سدیم کلرید

IE	درصد تخلخل	n	C_{dl} (F) × ۱۰ ^{-۱۰}	R_t (ohm.cm ²)	R_s (ohm.cm ²)	نوع پوشش
۳۹/۸	۶۰/۳	۰/۸۳	۱۲/۴	۱/۲۵	۷	S
۵۸/۹	۴۱/۲	۰/۹۶	۲۰/۰	۳۶۹/۹	۹	GS
۷۲/۹	۲۷/۲	۰/۹۸	۲۱/۹	۵۶۱/۵	۶	S-SMAT
۷۹/۱	۲۰/۸	۱	۲۲/۰	۷۳۲/۵	۹	G-SMAT

داده‌های به دست آمده از آزمون پلاریزاسیون پتانسیودینامیک و همچنین امپدانس الکتروشیمیایی و اطلاعات حاصل، مشاهده شد که نتایج این ۲ آزمون از تطابق خوبی برخوردار است. همچنین باتوجه به نتایج آزمون ولتامتری انجام شده که در شکل ۱ نشان داده شد، می‌توان مشاهده کرد که در پوشش‌های اعمالی بر زیرلایه SMAT شده، جریان آندی کاهش یافته است که نشان دهنده افزایش مقاومت به خوردگی است [20]. باتوجه به نتایج یاد شده تطابق هر ۳ آزمون تأیید می‌شود.

ارزیابی میکروسختی

از آنجایی که آزمون اندازه‌گیری میکروسختی یکی از آزمون‌های سنجش و مشخصه‌یابی برای پوشش‌هاست، از آن برای بررسی خواص پوشش اعمال شده کمک گرفته شد. شکل ۱۰ نتایج آزمون میکروسختی پوشش‌ها را نشان می‌دهد. باتوجه به نتایج، پوشش حاصل از نمونه G-SMAT بیشترین میکروسختی (۹۸/۹ ویکرز) را داراست. می‌توان گفت از آنجایی که Zn ساختار هگزاگونال بوده، دارای خواص مکانیکی ناهمسان است و جهت‌گیری کریستالوگرافی به میزان چشمگیری روی خواص مکانیکی تأثیر می‌گذارد و با تغییر در جهت‌گیری و محدود شدن صفحات لغزشی پوشش، میکروسختی نیز تغییر می‌یابد [21].

باتوجه به آزمون پلاریزاسیون پتانسیودینامیک در رابطه با تشکیل فیلم پسیو می‌توان مشاهده کرد که برای پوشش حاصل از نمونه S، سریع‌تر فیلم پسیو تشکیل شده است. در حالی که در حالت‌های دیگر، فیلم پسیو در پتانسیل‌های بالاتر تشکیل شده است. باتوجه به مقدار n می‌توان گفت نمونه یاد شده بیشترین زبری سطح را در مقایسه با پوشش‌های دیگر دارد و افزایش زبری سطح سبب می‌شود تابع کار الکترون کاهش پیدا کند و به این ترتیب واکنش‌های الکتروشیمیایی مربوط به تشکیل لایه پسیو راحت‌تر انجام می‌شود. برای محاسبه درصد تخلخل (درصد F) برای هر نمونه، از رابطه (۱۰) استفاده شد [18].

$$F = \left(\frac{R_p}{R_p} \right) \times 100 - \left(\frac{\Delta E_{Corr}}{\beta_a} \right) \times 100 \quad (10)$$

که در این رابطه R_p و R_p به ترتیب مقاومت‌های پلاریزاسیون زیرلایه و پوشش و ΔE_{Corr} اختلاف پتانسیل خوردگی و β_a شیب ناحیه آندی نمودار پلاریزاسیون هستند.

با مقایسه نتایج آزمون امپدانس الکتروشیمیایی مشاهده شد که میزان تخلخل، به ترتیب از پوشش حاصل از نمونه S تا در نهایت پوشش آبکاری حاصل از نمونه G-SMAT روبه کاهش بوده که این کاهش تخلخل و متراکم شدن پوشش به خوبی در تصاویر FESEM نشان داده شده است. کاهش تخلخل پوشش نشان دهنده افزایش مقاومت به خوردگی است. در واقع کاهش تخلخل‌های پوشش موجب کاهش نفوذ محلول خورنده، افزایش بازده حفاظت از خوردگی و در نتیجه کاهش خوردگی زیرلایه می‌شود [19]. در نهایت باتوجه به

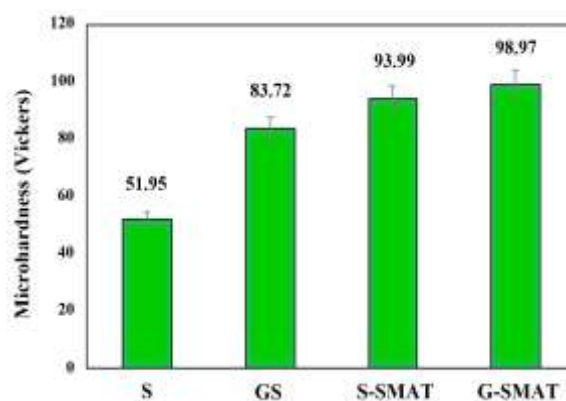
می‌یابد. درحالی‌که برای زیرلایه SMAT شده تغییر در جهت رشد ایجاد نشده و فقط اندازه بلورک کاهش یافته است. در صورت حضور ژلاتین و انجام عملیات SMAT (نمونه G-SMAT) رشد ترجیحی ایجاد می‌شود و اندازه بلورک به طرز چشمگیری کاهش می‌یابد؛

۳. طبق تصاویر FESEM، اندازه دانه برای پوشش حاصل از محلول حاوی ژلاتین بر روی زیرلایه SMAT شده (G-SMAT) دارای کمترین اندازه دانه است. لازم به ذکر است در همه حالت‌ها اندازه دانه نسبت به اندازه دانه نمونه حاصل از محلول بدون ژلاتین روی زیرلایه ساده (نمونه S)، کمتر است؛

۴. طبق تصاویر FESEM در حضور ژلاتین، ضخامت پوشش افزایش یافته است و در نمونه‌هایی که زیرلایه SMAT شده باشد، ناحیه اتصال پوشش با زیرلایه بهبود یافته است؛

۵. باتوجه به آزمون‌های پلاریزاسیون و امپدانس الکترو شیمیایی، مقاومت به خوردگی پوشش حاصل از محلول حاوی ژلاتین بر روی زیرلایه SMAT شده (نمونه G-SMAT) نسبت به پوشش‌های دیگر بهتر است؛

۶. نتایج آزمون میکروسختی نشان داد که پوشش حاصل از محلول حاوی ژلاتین روی زیرلایه SMAT شده (نمونه G-SMAT) دارای سختی بالاتری نسبت به نمونه‌های دیگر است.



شکل ۱۰ نتایج آزمون میکروسختی پوشش Zn آبرکاری شده از محلول: (الف) S، (ب) GS، (ج) S-SMAT و (د) G-SMAT

نتیجه‌گیری

در این پژوهش اثر عوامل شیمیایی و مکانیکی بر پوشش‌های Zn آبرکاری شده همراه با عملیات مکانیکی سطحی تدریجی روی نمونه‌های فولادی بررسی شد. نمونه‌های نهایی از نظر مورفولوژی و خواص خوردگی ارزیابی شدند که بر مبنای بررسی‌ها، نتایج زیر به دست می‌آید:

۱. در محلول حاوی ژلاتین روی زیرلایه ساده (S)، پتانسیل نشست Zn افزایش یافته، در صورتی‌که در محلول بدون ژلاتین و زیرلایه SMAT شده (S-SMAT)، پتانسیل نشست کاهش یافته است؛
۲. الگوی XRD پوشش‌ها نشان داد که در حضور ژلاتین رشد ترجیحی ایجاد می‌شود و همچنین اندازه بلورک‌ها کاهش

مراجع

۱. ایمان بقال‌زاده، "آبرکاری روی و آلیاژهای آن"، انتشارات دانشگاه صنعتی شریف، (۱۳۹۴).
2. Varea, A., Pellicer, E., Pané, S., Nelson, B.J., Suriñach, S., Dolors Baró, M., and Sort, J., "Mechanical properties and corrosion behavior of nanostructured Cu-rich CuNi electrodeposited films," *International Journal of Electrochemical Science*, Vol. 7, pp. 1288-1302, (2012).
3. Orinakova, R. R., Turoňová, A., Kladekova, D., Galova, M., and Smith, R. M., "Recent developments in the electrodeposition of nickel and some nickel-based alloys," *Journal of Applied Electrochemistry*, Vol. 36, No. 9, pp. 957-972, (2006).
4. Tao, N., Wu, X., Sui, M., Lu, J., and Lu, K., "Grain refinement at the nanoscale via mechanical twinning and

- dislocation interaction in a nickel-based alloy", *Journal of materials research*, Vol. 19, No. 6, pp. 1623-1629, (2004).
5. Tao, N., Zhang, H., Lu, J., and Lu, K., "Development of nanostructures in metallic materials with low stacking fault energies during surface mechanical attrition treatment (SMAT)", *Materials Transactions*, Vol. 44, No. 10, pp. 1919-1925, (2003).
 6. Tao, N., Lu, J., and Lu, K., "Surface nanocrystallization by surface mechanical attrition treatment", in *Materials science forum*, Vol. 579, pp. 91-108, (2008).
 ۷. شایق بروجنی، ب.، اکبری خراجی، ا.، "اثر زمان عملیات مکانیکی سطحی تدریجی (SMAT) بر رفتار خوردگی مس خالص"، فصلنامه علمی پژوهشی فرایندهای نوین در مهندسی مواد، دانشگاه آزاد اسلامی واحد شهر مجلسی، سال نهم، شماره ۴، صص ۷۳-۶۳، (۱۳۹۴).
 8. Zhou, W., Inoue, S., Iwahashi, T., Kanai, K., Seki, K., Meyamae, T., Kim, D., Katayama, Y., "Double layer structure and adsorption/ adsorption hysteresis of neat ionic liquid on Pt electron surface – an in-situ IR-visible sum-frequency generation spectroscopic", *Electrochemistry Communications*, Vol. 12, pp.672-675, (2010).
 9. Baik, D.S., Fray, D.J., "Electrodeposition of zinc from high acid chloride solutions", *Journal of Applied Electrochemistry*, Vol. 31, pp. 1141-1147, (2001).
 10. Nakano, H., Ura, T., Ouei, S., Kobayashi, S., "Effect of Preadsorption of Organic Additives on the Appearance and Morphology of Electrogalvanized Steel Sheets", *Journal of the Iron and Steel Institute of Japan*, Vol. 99, No. 12, pp. 700–708, (2013).
 11. Sorour, N., Zhang, W., Ghali, E., Houlachiorganic, G., "additives in zinc electrodeposition process (performance and evaluation)", *Hydrometallurgy*, Vol. 171, No. 9, pp. 320-332, (2017).
 12. Youssef, Kh.M.S., Koch, C.C., Fedkiw, P.S., "Influence of additives and plus electrodeposition parameters on production of nanocrystalline zinc from zinc chloride electrolytes", *Journal of The Electrochemical Society*, Vol. 151, No. 2, pp. 103–111, (2004).
 ۱۳. ساعتچی، ا.، یان، ه.، هاریس، س.، "تأثیر دانسیته جریان بر مورفولوژی و بافت پوشش‌های گالوانیزه سرد بر روی سطح فولاد"، استقلال، سال بیستم، شماره ۱، (۱۳۸۰).
 14. A. Nikfahm, I. Danaee, A. Ashrafi, M. Toroghinejad, "Effect of grain size changes on corrosion", *Materials Research*, Vol. 16, pp. 1379-1386, (2013).
 15. Mouanga, M., Bercot, P., Raush, J.Y., "Comparison of corrosion behavior of zinc in NaOH and in NaCl solutions; Part 1: Corrosion layer characterization", *Corrosion Science*, Vol. 52, pp. 3984–3992, (2010).
 16. Mouanga, M., P. Bercot, P., "Comparison of corrosion behavior of zinc in NaOH and in NaCl solutions; Part 2: Electrochemical analyses", *Corrosion Science*, Vol. 52, pp. 3993–4000, (2010).
 17. Abd el-lateef, H.M., El-Sayed, A.R., Mohran H.S., "Role of nickel alloying on anodic dissolution behavior of zinc in 3.5 % NaCl solution. Part II: Potentiodynamic, potentiostatic and galvanostatic studies", *Transactions of Nonferrous Metals Society of China*, Vol. 25, pp. 3152–3164, (2015).
 18. Eidivandi S., Shayegh Boroujeny B., Dustmohammadi A., Akbari E., "The effect of surface mechanical

- attrition treatment (SMAT) time on the crystal structure and electrochemical behavior of phosphate coatings", *Journal of Alloys and Compounds*, Vol. 821, <https://doi.org/10.1016/j.jallcom.2019.153252>, (2020) .
19. Taheri R., Oguocha I.N.A. and Yannacopoulos S., "The tribological characteristics of electroless NiP coatings", *Journal of Wear*, Vol. 249, pp. 389-396, (2001).
20. Erten, U., Unal, H.I., Zor, S., Atapek, S.H., "Structure and electrochemical characterization of Zn-TiO₂ and Zn-WO₃ nanocomposite coating electrodeposited on St37", *Journal of Applied Electrochemistry*, Vol. 45, pp. 991-1003, (2001).
21. McDermid, J.R., Xia, X., Zhitomisky, I., "Electrodeposition zinc and composite zinc-yttria stabilized zirconia coating", *materials processing technology*, Vol.209, pp.2632-2640, (2009).